

جزیه آنتی بیوتیک لفایا<sup>۱۱</sup> و میکس آبی<sup>۱۲</sup> خاص از فانوذره آهن  
- خ پر اکسپانسیون وزن

مهدی فضلزاده<sup>۱</sup>(M.Sc)، آیت رحمانی<sup>۲</sup>(Ph.D)، حمیدرضا ناصحی‌نیا<sup>۳</sup>(Ph.D)، حسن رحمانی<sup>۳</sup>(Ph.D)، کوروش رحمانی<sup>۴\*</sup>(Ph.D)

- ۱- گروه مهندسی بهداشت محیط، دانشکده بهداشت، دانشگاه علوم پزشکی اردبیل، اردبیل، ایران
- ۲- گروه مهندسی بهداشت محیط، دانشکده بهداشت، دانشگاه علوم پزشکی سمنان، سمنان، ایران
- ۳- گروه مهندسی بهداشت محیط، دانشکده بهداشت، دانشگاه علوم پزشکی کاشان، کاشان، ایران

حکیمہ

اگرچه و هدف آن ایجاد دههای اروپی سال‌های اخیر گرانی‌های زیادی برای خصوصیات بحیط زیست به وجود آمده است. لذا یافتن روش‌های حذف آن از محیط سیار به میان تفاهه از فرایند دهای کاتالیستی امکان پیش‌نمایی را می‌آورد. روش‌های امپب می‌آشد.

روش‌ها: رابین تجربی، انواع آزمایش‌آلات صفر در شرایط آزمایشگاهی انجام شده‌اند. با آنالیزهای XRD و SEM تعیین گردید در این تحقیق تأثیر اتمی اول قبلاً pH ۲ است، غلظت پراکسید ۰.۰۵ مول وزن حذف آنتی‌بیوتیک لفاتیا ول محیط آبی بررسی شد. کلیه ونه داری آزمایشات انجام شده از این روش‌های اول ارد آزمایشات آغاز شد ادب انجام شد.

افتئه‌ها: نتایج اول از این تحقیق داد که pH تأثیر سیار زیادی کارایی فرایند کاتالیستی را در pH اسیدی، کارایی فرایند افزایش می‌دهد. بیشترین افزایش در زمان سک در شرایط pH=۳ g/L و  $Nzvi = 1\text{ mol H}_2O_2 = 1\text{ mol}$  میان ۸۲/۹۰ حد به داشت آمد.

جهه ری: ذره آبدار در حضور پراکسید ۰.۰۵ مولی این تجزیه لفاتیا ول آن را ته و می‌داند آن این ابت تصفیه ذائب‌های سنایع اروپی پیشنهاد کرد.

ازهاد کلیدی: لفایتیا، آن صفر، اکسیئن، اکسیئن، هیو، وزن

ترکیبات دارویی می‌توانند از طرق مختلف از قبیل صنایع داروسازی پساب بیمارستانی و مدفوع‌های انسانی و حیوانی وارد محیط شوند<sup>[۵,۶]</sup> در میان این ترکیبات دارویی که باعث آلودگی محیط می‌شوند، آنتی‌بیوتیک‌ها به خاطر مصرف بالای آن‌ها در پزشکی و دامپزشکی جایگاه مهمی را به اختصاص می‌دهد. سولفات‌یازول یک ترکیب ارگانوسولفور است که به عنوان یک داروی سولفای کوتاه اثر استفاده می‌شود. در ابتدا به عنوان یک ضدبacterیالی متدائل دهانی و موضعی تا زمانی

مقدمة

داروها و محصولات مرتبط با آن به عنوان یک نگرانی در سال‌های اخیر توجهات را به خود اختصاص داده است. داروها برای درمان یا جلوگیری از عفونت‌های میکروبی انسان‌ها و حتی در حیوانات استفاده می‌شود. ترکیبات دارویی از قبیل آنتی‌بیوتیک‌ها در محیط‌های آبی مشاهده می‌شوند. این ترکیبات در آب سطحی [۱]، زیرزمینی [۲]، پساب فاضلاب [۳] و حتی در آب آشامیدنی یافت می‌شود [۴].

[۲۵، ۲۶] نیترات‌ها [۲۷، ۲۸] آفتکش‌ها [۲۹، ۳۰] و رنگ‌ها [۳۱-۳۳]. مورد استفاده قرار گیرد.

استفاده از تکنولوژی NZVI جهت حذف آنتی‌بیوتیک‌های مختلف استفاده شده است [۳۴]. Ghauch و همکارانش ZVI را جهت تجزیه آنتی‌بیوتیک‌های آموکسی‌سیلین و آمپی‌سیلین استفاده کردند. در این تحقیق حذف کامل این دو آنتی‌بیوتیک در زمان ۳ ساعت اتفاق افتاد [۳۵].

بنابراین، این مطالعه با هدف بررسی کارایی فرایند نانوکاتالیستی با استفاده از نانوذره آهن صفر در حذف آنتی‌بیوتیک سولفات‌ایازول و تاثیر پارامترهای مختلف در حذف آن انجام شده است.

## مواد و روش‌ها

۱. انجام آزمایش. این تحقیق یک مطالعه تجربی است که در مقیاس آزمایشگاهی و به صورت نایوسه انجام شده است. محلول استوک سولفات‌ایازول به صورت ۱۰۰۰ میلی‌گرم بر لیتر تهیه و با رقیق‌سازی غلظت‌های موردنیاز مورد استفاده قرار گرفت. برای تنظیم pH از اسید سولفوریک و هیدروکسید سدیم یک مولار استفاده گردید. تمامی آزمایشات در دمای محیط آزمایشگاه و در حدود ۲۵ درجه سانتی‌گراد انجام و در نهایت برای تحلیل داده‌ها از نرم‌افزار Excel استفاده شد.

۲. میراد. ۲. ۱. در استفاده: مواد شیمیایی مورد استفاده در این پژوهش شامل سولفات آهن ( $\text{FeSO}_4 \cdot 7\text{H}_2\text{O}$ ), پراکسید هیدروژن ( $\text{H}_2\text{O}_2$ ) (۳۰ درصد وزنی)، پلی‌وینیل پیرولیدون، اسید سولفوریک ( $\text{H}_2\text{SO}_4$ ), سود ( $\text{NaOH}$ ), استیک اسید ( $\text{CH}_3\text{COOH}$ ), بوروهیدرات سدیم ( $\text{NaBH}_4$ ), اتانول ۳۰ درصد و متانول با درجه HPLC بودند که همگی از شرکت MERCK خریداری گردید. آنتی‌بیوتیک سولفات‌ایازول از شرکت سیگما آلدريچ تهیه شد.

۳. متر: آن. آ. آهن صفر. نانوذرات آهن صفر از طریق روش احیایی در فاز مایع انجام شد. با استفاده از پلی‌وینیل پیرولیدون به عنوان یک عامل پخش‌کننده، سولفات آهن ۷ آبه با بوروهیدرات سدیم به عنوان عامل احیاء‌کننده واکنش

که یک جایگزین با سمیت کم‌تر برای آن پیدا شد مورد استفاده قرار می‌گرفت. این دارو هنوز گاهی اوقات در ترکیب با سولفابنزاکسید و سولفاستامید و در آکواریوم‌ها مورد استفاده قرار می‌گیرد [۷].

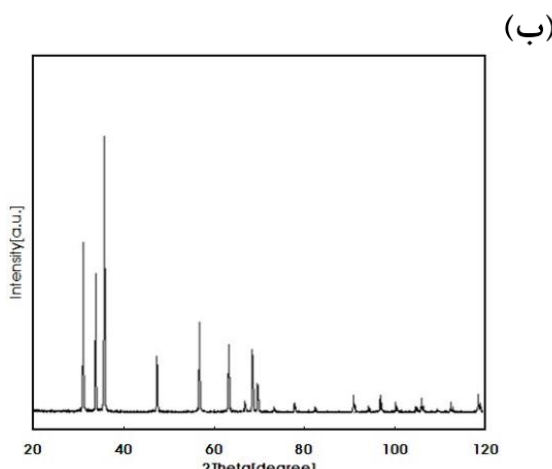
روش‌های مختلفی در حذف آنتی‌بیوتیک‌ها از محیط‌های آبی از قبیل جذب، ازناسیون و روشهای بیوتکنولوژی گزارش شده است [۷-۱۲]. فرآیندهای اکسیداسیون با استفاده از قدرت رادیکال هیدروکسیل هنگامی در تصفیه آب استفاده شده‌اند که آلاینده‌های موجود به‌وسیله سایر روشهای مرسوم قابل حذف نبوده‌اند [۱۳]. این فرآیندها در ردیف فرآیندهای پیشرفت‌های اکسیداسیون (Advanced Oxidation Processes) قرار دارند یعنی فرآیندهایی که منجر به ایجاد رادیکال آزاد هیدروکسیل ( $\text{OH}^{\bullet}$ ) تحت دما و شرایط محیطی متعارف می‌باشند [۱۴]. یکی از فرآیندهای بسیار جالب در این بین، فرآیند اکسیداسیون تلفیقی نانوذرات آهن در حضور پراکسید هیدروژن می‌باشد. از این گذشته نانوذرات آهن صفر به میزان زیاد در دسترس، ارزان و غیر سمی بوده و پایداری نسبتاً زیاد شیمیایی را نشان می‌دهد [۱۴، ۱۵].

نانوذرات به دلیل اندازه بسیار کوچک و ساختار مولکولی و یا اتمی منحصر به فرد خود از ویژگی‌های مکانیکی، مغناطیسی، نوری، الکترونیکی و شیمیایی ویژه‌ای برخوردار هستند. فلزات با ظرفیت صفر (مانند آهن، قلع و آلومینیوم و روی) عوامل موثری برای اصلاح محیط‌های آبی‌الوده هستند. در بین این فلزات استفاده از آهن با ظرفیت صفر (NZVI) به دلیل فراوانی، ارزانی و غیر سمی بودن، واکنش سریع و توانایی و بازده بالا در تجزیه آلاینده‌ها در الوبت قرار دارد [۱۶]. علاوه بر این، ذرات آهن حاصل از فرآیندهای صنعتی می‌تواند به عنوان آهن با ظرفیت صفر در تصفیه آلاینده‌ها استفاده شود [۱۷]. تحقیقات نشان داده است که نانوذرات آهن می‌تواند در حذف آلاینده‌هایی از قبیل فلزات سنگین [۱۸-۲۰] کلرینات‌های آلی [۲۱، ۲۲] ترکیبات نیترو-آروماتیک [۲۳، ۲۴] پلی‌برومینات دی‌فنیل اترها

غلاظت آنتیبیوتیک سولفاتیازول در بررسی میزان حذف آن توسط فرایند نانوکاتالیستی از دستگاه HPLC مدل CECIL (Cambridge, UK) ۴۱۰۰ مجهز به دکتور UV-visible طول موج ۲۵۴ نانومتر مورد استفاده قرار گرفت. حللاهای موردن استفاده جهت فاز متحرک متاونول و اسید استیک به ترتیب با نسبت‌های ۴۰ به ۶۰ بود با میزان جریان ۱ میلی لیتر در دقیقه استفاده شدند. زمان مشاهده پیک غلاظت در این شرایط در دستگاه HPLC دقیقه ۴ بود.

## نتایج

تعیین نسبت آهن: آذره آهن صفر. خصوصیات نانوذرات آهن صفر با استفاده از دستگاه‌های الکترونیکی مورد بررسی قرار گرفت. میانگین سطح ویژه نانوذره آهن صفر سنتز شده ۳۰ متر مربع بر گرم بود. شکل ۱ (الف) تصویر مشاهده شده از نانوذرات آهن صفر بهوسیله TEM نشان می‌دهد. همان‌طور که در شکل دیده می‌شود ذرات دارای یک شکل یکنواخت می‌باشند. نانوذرات آهن سنتز شده به صورت پودری بودند که از لحاظ مرغولوزی کروی و دارای اندازه‌ای در محدوده ۳۰-۵۰ نانومتر داشتند. ساختار زنجیرگونه آن‌ها ممکن است ناشی از مغناطیس ساکن و تنش سطحی باشد. الگوی XRD نانوذره سنتز شده در شکل ۱ (ب) نشان داده شده است. پیک آشکار شدن آهن صفر در ۳۸/۷۶ در ۰۲ مشخص شد.

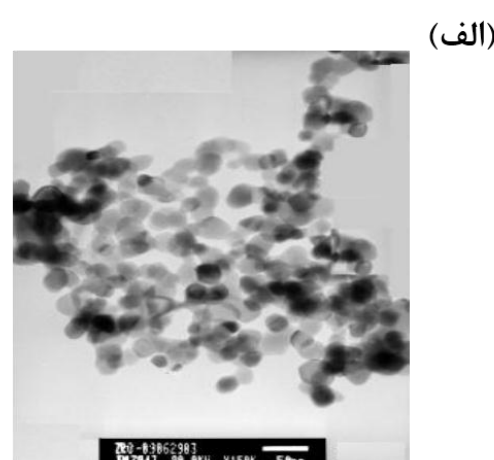


شکل ۱: نتایج حاصل از آنالیز SEM (الف) و XRD (ب) نانوذرات آهن صفر سنتز شده

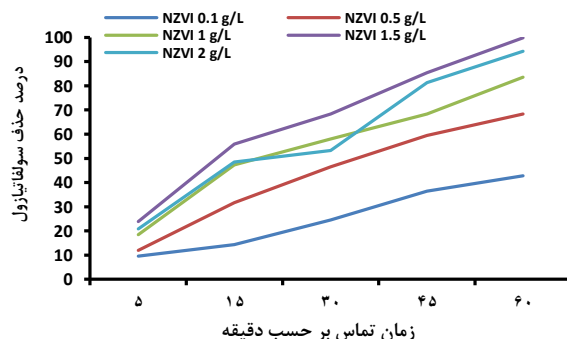
می‌دهد. اضافه کردن پلی‌وینیل پیرولیدون نقش بسیار مهمی را در قابلیت پخش شدن نانوذرات آهن ایفا می‌کند که این امر با تغییر در توزیع بار سطح و سپس ایجاد اثر تثیت الکترواستاتیک، فضای سه بعدی و تثیت فضای سه بعدی الکترواستاتیک به وجود می‌آید [۳۵]. بنابراین نانوذره آهن صفر به دست آمده به خوبی پخش شده و کمتر به صورت گلوله‌ای در می‌آید. در تهیه نانوذره آهن صفر، آب دیونیزه شده به مدت ۳۰ دقیقه با استفاده از نیتروژن خالص اکسیژن‌زادایی شد. محلول سولفات آهن ۷٪ آب ۰/۰۱ مولار و بوروهیدرات ۰/۰۳ مولار تهیه کرده و در محلول آب و اتانول به نسبت ۳۰ به ۷۰ حجمی حل شد. پلی‌وینیل پیرولیدون را به محلول سولفات آهن اضافه و با همزن مخلوط شد. سپس محلول بوروهیدرید (به نسبت ۱۰ به یک بوروهیدرید و سولفات آهن) را تحت شرایط نیتروژن (با دبی ۱۰ میلی لیتر در دقیقه) به آن اضافه و به خوبی مخلوط گردید. بعد از سیاهرنگ شدن معمل اختلاط قطع شد. با استفاده از مگنت، نانوذرات آهن صفر سنتز شده جدا شده و سپس به ترتیب سه بار با آب دی‌یونیزه و اتانول خالص شستشو داده شد. نانوذرات آهن صفر تهیه شده تا زمان استفاده در اتانول نگهداری شدند. واکنش در سنتز نانوذره را می‌توان به صورت زیر نوشت:

$$Fe(H_2O)^{2+} + 2BH_4^- \rightarrow Fe^0 + 2B(OH)_3 + 7H_2 \uparrow$$

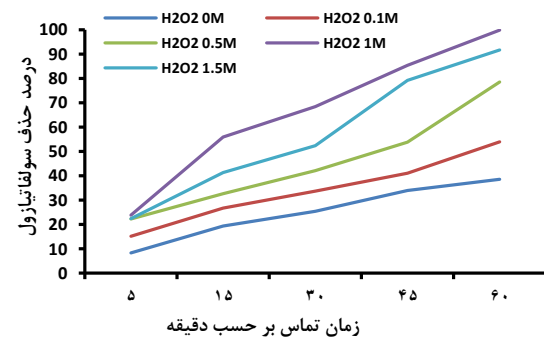
آنالیز خانات آنتیبیوتیک - رفتاریا: ول: جهت اندازه‌گیری



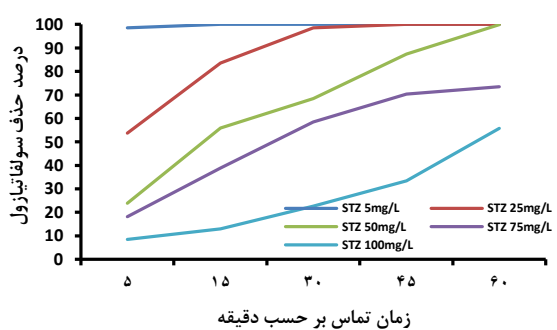
که پراکسید هیدروژن با غلظت ۱ مولار به عنوان غلظت بهینه در این تحقیق می‌باشد. در این غلظت راندمان حذف در شرایط ثابت ۵۰ میلی‌گرم بر لیتر سولفاتیازول، ۱ گرم بر لیتر نانوذره آهن صفر و  $pH=3$  برابر  $99/87$  درصد به دست آمد.



شکل ۳. تأثیر غلظت نانوذره آهن صفر بر کارایی فرایند نانوکاتالیستی در حذف سولفاتیازول(شرایط  $pH=3$ ،  $H_2O_2=1\text{ M}$  و  $STZ=50\text{ mg/L}$ )



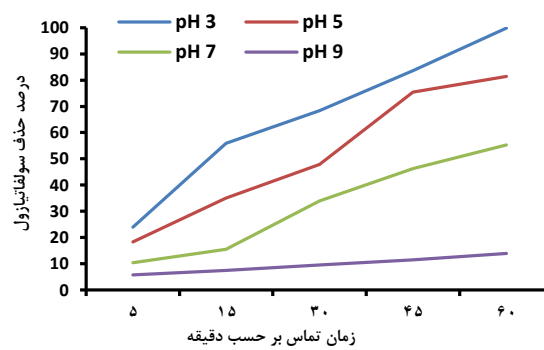
شکل ۴. تأثیر پراکسید هیدروژن بر کارایی فرایند نانوکاتالیستی در حذف سولفاتیازول(در شرایط  $pH=3$ ،  $NZVI=1/5\text{ g/L}$  و  $STZ=50\text{ mg/L}$ )



شکل ۵. تأثیر غلظت سولفاتیازول بر کارایی فرایند نانوکاتالیستی در حذف سولفاتیازول (شرایط  $pH=3$ ،  $NZVI=1/5\text{ g/L}$  و  $H_2O_2=1\text{ M}$ )

تأثیر لفافیاول فرایند نانوکاتالیستی در این مرحله جهت بررسی اثر غلظت آنتیبیوتیک سولفاتیازول غلظت‌های ۲۵، ۵۰، ۷۵ و ۱۰۰ میلی‌گرم بر لیتر از سولفاتیازول برداشته

تئوری آنچه که از ایازول در محیط آه با استفاده... تأثیر  $pH$ . کارایی فرایند نانوذره آهن صفر در اکسیداسیون آنتیبیوتیک سولفاتیازول در شکل ۲ آورده شده است. جهت بررسی تأثیر  $pH$  سولفاتیازول در زمان‌های ۵، ۱۵، ۳۰، ۴۵ و ۶۰ دقیقه در تماس با نانوذره آهن و پراکسید هیدروژن قرار گرفت که بیشترین راندمان حذف در  $pH$  برابر ۳ (تفاوت آزمایش ۹۹/۸۷) اتفاق افتاد. دیگر  $pH$ های مورد آزمایش، ۵، ۷ و ۹، راندمان حذف برای سولفاتیازول به ترتیب ۵۵/۲۹، ۸۱/۴۶ و ۱۳/۸۶ درصد مشاهده شد.



شکل ۲. تأثیر  $pH$  بر کارایی فرایند نانوکاتالیستی در حذف سولفاتیازول(در شرایط  $5/1\text{ g/L}=NZVI$  و  $mg/L 50=STZ$ )

تأثیر خانه آنچه از آهن صفر در اکسیداسیون لفافیاول برای بررسی تأثیر غلظت نانوذره آهن صفر در کارایی فرایند نانوکاتالیستی با استفاده از نانوذره آهن صفر ۵ غلظت ۱/۰، ۰/۵، ۱، ۱/۵ و ۲ گرم در لیتر مورد استفاده قرار گرفت. همان‌طور که در شکل ۳ مشاهده می‌شود نتایج نشان داد در غلظت ۱/۵ بیشترین راندمان حذف بود. در غلظت‌های بالاتر راندمان حذف دچار کاهش شد به طوری که در غلظت ۲ گرم بر لیتر راندمان حذف در شرایط بهینه حدود ۵ درصد کاهش یافت.

تأثیر خانه آنچه پراکسید ۵-۱ و زن کارایی فرایند نانوکاتالیستی پراکسید هیدروژن به صورت مولار به محیط واکنش اضافه شد. همان‌طور که در شکل ۴ مشاهده می‌شود جهت بررسی تأثیر پراکسید هیدروژن غلظت‌های ۰/۵، ۰/۰، ۱، ۱/۵ و مولار استفاده شد که نتایج حاصل از آن نشان داد

رسوب هیدروکسید آهن در شرایط فوق اشباع می‌شود که یون‌های آهن II موجود در فرایند را کاهش می‌دهد. علاوه بر آن آهن II در رقابت با رادیکال‌های هیدروکسیل می‌باشد.

شکل ۴ تجزیه سولفاتیازول را در غلظت‌های مختلف H<sub>2</sub>O<sub>2</sub> نشان می‌دهد. همان‌طور که از نتایج بر می‌آید تجزیه سولفاتیازول از غلظت پراکسید هیدروژن تأثیر می‌پذیرد. در سیستم فنتون منبع اصلی رادیکال‌های هیدروکسیل از طریق واکنش پراکسید با آهن می‌باشد. به صورت تصوریکی در صورتی که مقدار آهن موجود در سیستم محدود نباشد، رادیکال‌های هیدروکسیل تولیدی بیش‌تر خواهد بود. همان‌طور که پیش‌بینی می‌شد راندمان حذف سولفاتیازول از ۳۸ درصد در زمان عدم حضور پراکسید هیدروژن به ۹۹ درصد در غلظت ۱ مولار افزایش یافت. نتایج مشابه را هم می‌توان در مطالعات دیگر یافت [۳۴، ۳۸، ۳۹]. در سیستم فنتونی در زمانی که غلظت پراکسید هیدروژن در حد غلظت بحرانی زیاد می‌شود، رادیکال‌های هیدروکسیل می‌توانند از طریق اثر تخریبی غلظت اضافی پراکسید هیدروژن و ترکیب مجدد رادیکال‌های هیدروکسیل کاهش یابد. رادیکال‌های هیدروپراکسی حاصل از اثر تخریبی دارای فعالیت کم‌تری نسبت به رادیکال‌های هیدروکسیل می‌باشند [۴۰]. بنابراین در غلظت‌های بیش از حد پراکسید هیدروژن راندمان حذف سولفاتیازول کاهش می‌یابد.

غلظت‌های اولیه ۲۵، ۵۰، ۷۵ و ۱۰۰ از سولفات‌یازول مطالعه شد. نتایج در شکل ۵ نشان داده شده است. با افزایش غلظت اولیه سولفات‌یازول میزان حذف کاهاش یافت. فرایند حذف سولفات‌یازول به وسیله نانوذره آهن صفر یک فرایند تناهمگ است که شامل دو مرحله جذب و تجزیه می‌باشد، بنابراین سطح واکنش جذب مقدار معینی از نانوذره آهن صفر ثابت است. این ممکن است منجر به گلوله‌ای شدن سولفات‌یازول در منافذ نانوذره آهن و بنابراین جلوگیری از

شد و در مدت زمان ۱۵ تا ۶۰ دقیقه به صورت ثابت در شرایط pH=۳،  $nZVI=1\text{ g/L}$  و  $\text{H}_2\text{O}_2=1\text{ mmol}$  قرار گرفت که نتایج حاصل از این آزمایش در شکل ۵ مشاهده می‌شود.

بحث و نتیجه‌گیری

۳- متأثر pH محلول به عنوان یکی از مهم‌ترین فاکتورهایی است که در حذف آلاینده‌ها با استفاده از آهن صفر تأثیر می‌گذارد. در این مطالعه هم pH به عنوان یک متغیر تأثیرگذار مورد بررسی قرار گرفت (۹، ۵، ۳). همان‌طور که در شکل ۲ مشاهده می‌شود راندمان حذف با کاهش pH افزایش می‌یابد. دلایل آن را می‌توان این‌طور بیان کرد که در pHهای پایین‌تر خوردگی آهن سریع‌تر اتفاق می‌افتد که در این شرایط تولید هیدروژن کافی (یا اتم‌های هیدروژن) می‌کند که این عمل برای واکنش‌های هیدروژناتیو مناسب‌تر است [۳۶]. از طرف دیگر خوردگی آهن در محلول با pHهای بالاتر از ۷ منجر می‌شود به شکل‌گیری فیلم‌های غیر فعال هیدروکسید آهن در سطح آهن که از واکنش‌های بیشتر جلوگیری می‌کند [۳۷].

جلوگیری میکند [۳۷]

تأثیر خانه‌ها: آهن صفر در تجزیه لفاظی: آهن II در نانوذره آهن صفر نقش مهمی را به عنوان منبع آهن II در واکنش فنتون ایفا می‌کند. در این تحقیق غلظت‌های ۰/۱ تا ۲ گرم بر لیتر مورد استفاده قرار گرفت که نتایج آن در شکل ۳ آمده است. همان‌طور که مشاهده می‌شود با افزایش غلظت نانوذره راندمان حذف سولفات‌یازول افزایش می‌یابد. در غلظت‌های بالاتر نانوذره مقادیر آزادسازی آهن II افزایش می‌یابد. در فرایند فنتون، آهن II به عنوان یک کاتالیست عمل می‌کند که تجزیه پراکسیدهیدروژن را به رادیکال‌های هیدروکسیل شروع می‌کند. پس در فرایند فنتون در زمانی که غلظت‌های بالاتر نانوذره آهن صفر استفاده می‌شود، مقدار رادیکال‌های هیدروکسیلی بیشتر شده و در نتیجه راندمان حذف سولفات‌یازول افزایش می‌یابد. اما در غلظت‌های بالای نانوذره آهن مشاهده می‌شود که کاهش تدریجی راندمان اتفاق افتاده است که به دلیل این‌که آهن II و III بیشتر، باعث تولید

[7] Kruger Gt, Gafner G. The crystal structure of sulphathiazole II. *Acta Crystallogr, Sect. B: Struct Sci* 1971; 27: 326V-333.

[8] Rahmani K, Faramarzi MA, Mahvi AH, Gholami M, Esrafil A, Forootanfar H, et al. Elimination and detoxification of sulfathiazole and sulfamethoxazole assisted by laccase immobilized on porous silica beads. *Int Biodeterior Biodegradation* 2015; 97: 107-114.

[9] Rivera-Utrilla J, Prados-Joya G, Sánchez-Polo M, Ferro-García M, Bautista-Toledo I. Removal of nitroimidazole antibiotics from aqueous solution by adsorption/bioadsorption on activated carbon. *J Hazard Mater* 2009; 170: 298-305.

[10] Sánchez-Polo M, Rivera-Utrilla J, Prados-Joya G, Ferro-García M, Bautista-Toledo I. Removal of pharmaceutical compounds, nitroimidazoles, from waters by using the ozone/carbon system. *Water Res* 2008; 42: 4163-4171.

[11] Malakootian M, Sepehr MN, Bahraini S, Zarrabi M. Capacity of natural and modified zeolite with cationic surfactant in removal of antibiotic tetracycline from aqueous solutions. *Koomesh* 2016; 17: 779-788. (Persian).

[12] Malakootian M, Yaghmaeian K, Momenzadeh R. Efficiency of titanium dioxide photocatalytic activity in removing anionic surfactant of sodium dodecyl sulfate from waste water. *Koomesh* 2015; 16: 648-654. (Persian).

[13] Dargahi A, Pirsaheb M, Hazrati S, Fazlzadehdavil M, Khamutian R, Amirian T. Evaluating efficiency of H<sub>2</sub>O<sub>2</sub> on removal of organic matter from drinking water. *Des. Water Treat* 2015; 54: 1589-1593.

[14] Gómez MJ, Petrović M, Fernández-Alba AR, Barceló D. Determination of pharmaceuticals of various therapeutic classes by solid-phase extraction and liquid chromatography-tandem mass spectrometry analysis in hospital effluent wastewaters. *J Chromatogr A* 2014; 1114: 224-233.

[15] Parastar S, Nasseri S, Borji SH, Fazlzadeh M, Mahvi AH, Javadi AH, et al. Application of Ag-doped TiO<sub>2</sub> nanoparticle prepared by photodeposition method for nitrate photocatalytic removal from aqueous solutions. *Des Water Treat* 2013; 51: 7137-7144.

[16] Sung H, Francis I. "Nanotechnology for environmental remediation" Springer Science+Business Media, Inc 2006; 5-42.

[17] Fazlzadeh M, Rahmani K, Zarei A, Abdollahzadeh H, Nasiri F, Khosravi R. A novel green synthesis of zero valent iron nanoparticles (NZVI) using three plant extracts and their efficient application for removal of Cr(VI) from aqueous solutions. *Adv Pow Tech* 2016; in press.

[18] Li ZJ, Wang L, Yuan LY, Xiao CL, Mei L, Zheng LR, et al. Efficient removal of uranium from aqueous solution by zero-valent iron nanoparticle and its graphene composite. *J Hazard Mater* 2015; 290: 26-33.

[19] Guo X, Yang Z, Dong H, Guan X, Ren Q, Lv X, et al. Simple combination of oxidants with zero-valent-iron (ZVI) achieved very rapid and highly efficient removal of heavy metals from water. *Water Res* 2016; 88: 671-680.

[20] Li S, Wang W, Liang F, Zhang WX. Heavy metal removal using nanoscale zero-valent iron (nZVI): Theory and application. *J Hazard Mater* 2017; 322: 163-171.

[21] Choe S, Chang Y, Hwang K, Khim J. Rapid reductive destruction of hazardous organic compounds by nanoscale Fe0. *Chemosphere* 2001; 42: 367-372.

[22] Qiu ZQF XH. Degradation of halogenated organic compounds by modified nano zero-valent iron. *Prog Chem* 2010; 22: 291-29.

[23] Zhang X, Chen Z. 2,4,6-Trinitrotoluene reduction kinetics in aqueous solution using nanoscale zero-valent iron. *J Hazard Mater* 2009; 165: 923-927.

تماس بیشتر و مانع از آزادسازی مداوم هیدروژن تولید شده می‌گردد. در نتیجه آن سرعت واکنش و میزان حذف کاهش می‌یابد [۴۱].

نتایج حاصل از این تحقیق نشان داد که فرایند نانوکاتالیستی با استفاده از نانوذرات آهن صفر قابلیت خوبی در اکسیداسیون آنتیبیوتیک سولفاتیازول دارد. در این فرایند عواملی از قبیل pH محلول، غلظت پراکسیدهیدروژن، غلظت نانوذره و غلظت آنتیبیوتیک تأثیرگذار می‌باشد. شرایط بهینه این فرایند در pH=۳، غلظت آهن صفر در غلظت ۱/۵ گرم بر لیتر و پراکسیدهیدروژن در غلظت ۱ مولار به دست آمد. همچنین با افزایش غلظت سولفاتیازول، راندمان حذف کاهش یافت.

## تشکر و قدردانی

این طرح در آزمایشگاه دانشکده بهداشت دانشگاه علوم اردبیل انجام شده است. بدین وسیله از مسئولین محترم آزمایشگاه شیمی دانشکده بهداشت کمال تشکر و قدردانی می‌گردد.

## منابع

[1] Kolpin DW, Furlong ET, Meyer MT, Thurman EM, Zaugg SD, Barber LB, et al. Pharmaceuticals, hormones, and other organic wastewater contaminants in US streams, 1999-2000: A national reconnaissance. *Environ Sci Technol* 2002; 36: 1202-1211.

[2] Rabiet M, Togola A, Brissaud F, Seidel J, Budzinski H, Elbaz-Poulichet F. Consequence of wastewater disposal on the contamination of the water resource by pharmaceuticals in a Mediterranean basin. *Environ Sci Technol* 2006; 40: 5282-5288.

[3] Carballa M, Omil F, Lema JM, Llompart Ma, García-Jares C, Rodríguez I, et al. Behavior of pharmaceuticals, cosmetics and hormones in a sewage treatment plant. *Water Res* 2004; 38: 2918-2926.

[4] Stackelberg PE, Furlong ET, Meyer MT, Zaugg SD, Henderson AK, Reissman DB. Persistence of pharmaceutical compounds and other organic wastewater contaminants in a conventional drinking-water-treatment plant. *Sci Total Environ* 2004; 329: 99-113.

[5] Yang L, Liya EY, Ray MB. Degradation of paracetamol in aqueous solutions by TiO<sub>2</sub> photocatalysis. *Water Res* 2008; 42: 3480-3488.

[6] Ikehata K, Jodeiri Naghashkar N, Gamal El-Din M. Degradation of aqueous pharmaceuticals by ozonation and advanced oxidation processes: a review. *Ozone Sci Eng* 2006; 28: 353-414.

zero valent iron in the presence of ultrasonic irradiation. *Sep Purific Technol* 2014; 122: 41-46.

[34] Rahmani H, Rahmani K, Rahmani A, Zare MR. Removal of dexamethasone from aqueous solutions using sono-nanocatalysis process. *Res J Environ Sci* 2015; 9: 320-331.

[35] Ghauch A, Tuqan A, Assi HA. Antibiotic removal from water: elimination of amoxicillin and ampicillin by microscale and nanoscale iron particles. *Environ Pollut* 2009; 157: 1626-1635.

[36] Zhang W, Quan X, Wang J, Zhang Z, Chen S. Rapid and complete dechlorination of PCP in aqueous solution using Ni-Fe nanoparticles under assistance of ultrasound. *Chemosphere* 2006; 65: 58-64.

[37] Jovanovic GN, Znidaršić P, Plazl P, Sakrittchai P, Al-Khaldi K. Dechlorination of p-chlorophenol in a microreactor with bimetallic Pd/Fe catalyst. *Ind Eng Chem Res* 2005; 44: 5099-5106.

[38] Molina R, Martínez F, Melero JA, Bremner DH, Chakinala AG. Mineralization of phenol by a heterogeneous ultrasound/Fe-SBA-15/H<sub>2</sub>O<sub>2</sub> process: multivariate study by factorial design of experiments. *Appl Catal B* 2006; 66: 198-207.

[39] Wang S. A comparative study of Fenton and Fenton-like reaction kinetics in decolorisation of wastewater. *Dyes Pigments* 2008; 76: 714-720.

[40] Gholami M, Rahmani K, Rahmani A, Rahmani H, Esrafil A. Oxidative degradation of clindamycin in aqueous solution using nanoscale zero-valent iron/H<sub>2</sub>O<sub>2</sub>/US. *Des Water Treat* 2016; 57: 13878-13886.

[41] Fang Z, Chen J, Qiu X, Qiu X, Cheng W, Zhu L. Effective removal of antibiotic metronidazole from water by nanoscale zero-valent iron particles. *Desalination* 2011; 268: 60-67.

[24] Zhang X, Shan XQ, Chen ZL. Degradation of 2,4,6-trinitrotoluene (TNT) from explosive wastewater using nanoscale zero-valent iron. *Chem Eng J* 2010; 158: 566-570.

[25] Li A, Zhao Z, Wang Y, Zhang Q, Jiang G, Hu J. Debromination of decabrominated diphenyl ether by resin-bound iron nanoparticles. *Environ Sci Technol* 2007; 41: 6841-6846.

[26] Shih YH. Reaction of decabrominated diphenyl ether by zerovalent iron nanoparticles. *Chemosphere* 2010; 78: 1200-1206.

[27] Shin K. Microbial reduction of nitrate in the presence of nanoscale zerovalent iron. *Chemosphere* 2008; 72: 257-262.

[28] Wang W, Jin ZH, Li TL, Zhang H, Gao S. Preparation of spherical iron nanoclusters in ethanol-water solution for nitrate removal. *Chemosphere* 2006; 65: 1396-1404.

[29] Elliott DW, Zhang WX. Degradation of lindane by zero-valent iron nanoparticles. *J Environ Eng* 2009; 135: 317-324.

[30] Joo SH, Waite TD. Oxidative degradation of the carbothioate herbicide, molinate, using nanoscale zero-valent iron. *Environ Sci Technol* 2004; 38: 2242-2247.

[31] Weng CH, Lin YT, Chang CK, Liu N. Decolourization of direct blue 15 by Fenton/ultrasonic process using a zero-valent iron aggregate catalyst. *Ultrason Sonochem* 2013; 20: 970-977.

[32] Rónavári A, Balázs M, Tolmacsov P, Molnár C, Kiss I, Kukovecz Á, et al. Impact of the morphology and reactivity of nanoscale zero-valent iron (NZVI) on dechlorinating bacteria. *Water Res* 2016; 95: 165-173.

[33] Wang X, Wang L, Li J, Qiu J, Cai C, Zhang H. Degradation of acid orange 7 by persulfate activated with

# Degradation of sulfathiazole antibiotics in aqueous solutions by using zero valent iron nanoparticles and hydrogen peroxide

Mehdi Fazlzadeh (M.Sc)<sup>1</sup>, Ayat Rahmani (Ph.D) <sup>2</sup>, Hamid Reza Nasehinia (Ph.D)<sup>3</sup>, Hassan Rahmani (M.Sc)<sup>3</sup>, Kourosh Rahmani (Ph.D) <sup>\*1</sup>

*1 - Dept. of Environmental Health, School of Public Health, Ardabil University of Medical Sciences, Ardabil, Iran*

*2 - Dept. of Environmental Health, School of Public Health, Semnan University of Medical Sciences, Semnan, Iran*

*3 - Dept. of Environmental Health, School of Public Health, Kashan University of Medical Sciences, Kashan, Iran*

(Received: 16 Sep 2016; Accepted: 15 Nov 2016)

**Introduction:** In recent years, pharmaceutical contaminant has created much concern for environmental experts. Therefore, it is important to find effective methods to remove of them from the environment. One of appropriate methods, in order to remove these contaminants is using nanocatalysts process.

**Materials and Methods:** In this experimental study, zero-valent iron nanoparticles synthesized in laboratory conditions, and its characteristics were determined by SEM and XRD analyses. In this study, it was investigated effects of factors such as pH, nanoparticles concentration and hydrogen peroxide concentration in removal of sulfathiazole antibiotics in aqueous solutions. All sampling and testing was performed according to standard methods for water and wastewater.

**Results:** The result of this study showed that pH, as a very effective agent, has a major impact on the efficiency of the nanocatalysts process and removal efficiency is higher at lower pH. Maximum efficiency was 99.87 percent that obtained time 60 min, pH = 3, Nzvi = 1g / L and H<sub>2</sub>O<sub>2</sub> = mmol 1.

**Conclusion:** Synthesized zero valent iron nanoparticles in the presence of hydrogen peroxide has a good efficiency to degradation of sulfathiazole and it can be suggested for wastewater treatment of pharmaceutical industry.

**Keywords:** Sulfathiazole, Nano Zero Valent Iron Particles, Oxidation, Hydrogen Peroxide

---

\* Corresponding author. Tel: +98 45 33513775

krahmanii@yahoo.com